

نقش پیرسازی مصنوعی بر خواص مکانیکی و ریزاساختار آلیاژ آلمینیم ۳۱۹

سعید شبستری (دانشیار)
مهرشاد صنمی (کارشناس ارشد)
دانشکده‌ی مهندسی مواد و متالورژی، دانشگاه علم و صنعت ایران

آلیاژهای ریختگی آلمینیم - سیلیسیم به علت برخوردباری از ویژگی‌هایی نظیر: سیالیت بالای مذاب، مقاومت عالی در برابر خوردگی، استحکام خوب، جوش‌پذیری مناسب و ... کاربرد وسیعی در صنایع گوناگون داردند. آلیاژ آلمینیم ۳۱۹ جزو آلیاژهای پرکاربرد خانواده XXX است که در ساخت پوسته‌ی پمپ بنزین و موتور خودرو کاربرد فراوانی دارد. این آلیاژ پذیرای عملیات حرارتی است و در این میان دو عملیات حرارتی T_{c} و T_{h} در بین فرایندهای دیگر رواج بسیاری داردند. عملیات حرارتی T_{c} به دلیل ارائه‌ی بالاترین خواص مکانیکی، و عملیات حرارتی T_{h} به دلیل نداشتن مرحله‌ی محلول‌سازی و آبدھی که به سهولت در انجام کار می‌انجامد، کاربرد یافته‌اند. از سوی دیگر هر دوی این عملیات شرایط اعمال پیرسازی مصنوعی را دارند.

در این پژوهش شرایط مختلف پیرسازی آلیاژ در هر دو عملیات مورد بررسی قرار گرفته است. برای اعمال شرایط مختلف پیرسازی هر دو عملیات بر آلیاژ اعمال شد. با توجه به پژوهش‌های گذشته در عملیات حرارتی T_{c} شرایط محلول‌سازی و آبدھی برای آلیاژ مذکور در دمای 50°C درجه سانتی‌گراد و زمان 12 ساعت، و آبدھی در محیط آب 60°C درجه سانتی‌گراد در نظر گرفته شد. پس از آن پیرسازی در دماهای 150°C و 170°C درجه سانتی‌گراد و در زمان‌های $2, 5, 3, 5, 7, 10$ ساعت اعمال شد. برای عملیات حرارتی T_{h} نیز به اعمال پیرسازی در دماهای 190°C و 200°C درجه سانتی‌گراد و زمان‌های $2, 4, 6, 8$ ساعت پرداخته شد.

تأثیر شرایط مختلف عملیات حرارتی T_{c} بر خواص مکانیکی و ریزاساختار مورد بررسی قرار گرفت. تغییرات خواص آلیاژ پس از اعمال عملیات حرارتی از طریق اندازه‌گیری سختی، استحکام و درصد ازدیاد طول نسبی مورد ارزیابی و مقایسه قرار گرفت، و تغییرات حاصله در فازهای موجود در شرایط مختلف عملیات حرارتی T_{c} و T_{h} نیز از طریق متالوگرافی نوری و SEM بررسی شد. با توجه به نتایج حاصله، بالاترین مقادیر استحکام کششی آلیاژ در عملیات حرارتی T_{c} به میزان 210 MPa در عملیات حرارتی T_{h} به میزان 135 HB حاصل شده است. همچنین بالاترین سختی آلیاژ در عملیات حرارتی T_{c} به میزان 95 HB قابل دست‌یابی است. از سوی دیگر افزایش سختی و استحکام در عملیات حرارتی T_{h} بیش از عملیات حرارتی T_{c} است.

عواملی که خواص مکانیکی آلیاژهای ریختگی Al را تحت تأثیر قرار می‌دهد عبارتند از:^[۵]

۱. ترکیب شیمیایی: تغییرات شیمیایی باید در محدوده‌ی مشخص باشد؛

۲. عیوب متالورژیکی: میزان عیوب ساختاری مانند حفره‌های گازی، حفره‌های انقباضی و آخال‌ها باید به کمترین میزان خود برسد.

۳. سرعت انجامداد: ضخامت سطح مقطع، موقعیت تغذیه‌ها و راه‌باره‌ها، جریان مذاب در قالب و جنس دیواره‌ی قالب، همگی بر سرعت انجامداد تأثیر دارند.

۴. عملیات حرارتی: زمان و دمای بهینه‌ی محلول‌سازی برای حصول اطمینان از حل شدن کامل اجزای قابل احلال و زمان و دمای بهینه‌ی پیرسازی از عوامل تأثیرگذار بر عملیات حرارتی اند.

مقدمه

آلومینیم و آلیاژهای آن به علت برخوردباری از ویژگی‌هایی چون چگالی، مقاومت زیاد در برابر خوردگی، نسبت استحکام به وزن بالا، هدایت الکتریکی و حرارتی بالا، غیرمغناطیسی بودن و شکل پذیری با روش‌های گوناگون استفاده‌ی گسترده یافته است.^[۳-۱] آلیاژ آلمینیم ۳۱۹ دارای عناصری چون مس و منیزیم است که به منظور بالا بردن خواص مکانیکی به آن اضافه می‌شوند. این آلیاژ به علت قابلیت بالای ریختگری و ویژگی‌های مکانیکی خوب، کاربرد فراوان دارد.^[۳-۲] استفاده از آلیاژهای آلمینیم نزد تولیدکنندگان موتور خودرو دو دلیل فنی عده دارد: یکی کاهش وزن موتور که منجر به مصرف کمتر سوخت می‌شود و دوم هدایت حرارتی بهتر آلیاژهای آلمینیم که از تمرکز حرارت به طور موضعی در موتور جلوگیری می‌کند. در بین آلیاژهای آلمینیم خانواده XXX ، بهویژه آلیاژ ۳۱۹، در ساخت موتور خودرو و پمپ‌های بنزین کاربرد گسترده‌ی یافته‌اند.^[۳-۳]

جدول ۱. ترکیب شیمیایی آلیاژ آلومینیم ۳۱۹

عنصر	درصد
Si	۵,۸
Cu	۲,۳
Fe	۰,۳۵
Mn	۰,۲۳
Mg	۰,۲۱
Ti	۰,۲۷
Sr	۰,۰۱۳
Al	۹۰

مرحله‌ی گاززدایی: ابتدا با استفاده از قرص‌های گاززدای جامد و سپس با استفاده از دمش گاز خنثای آرگون در دمای ۷۵۰ درجه سانتی‌گراد به مدت ۲۵ دقیقه انجام گرفت. عناصر آلیاژی تصحیح، و تحلیل شیمیایی مذاب ۳۱۹ مطابق جدول ۱ تهیه شد. مذاب در دمای حدود ۲۲۵ درجه سانتی‌گراد در قالب‌های ماسه CO_2 مطابق استاندارد ASTM-B26M ریخته‌گری شد. همچنین نمونه‌های کشش طبق استاندارد ASTM B557M مشین‌کاری، و حدود ۱۰۰ نمونه تهیه شد.^[۱]

ب) عملیات حرارتی

نمونه‌های تست کشش، برای انجام عملیات حرارتی T_6 و T_5 درون کوره قرار داده شد. کوره‌ها از نوع موبلی با حداکثر دمای ۱۱۰ درجه سانتی‌گراد و تغییرات دمایی ± 5 درجه سانتی‌گراد بود. عملیات حرارتی به صورت زیر اعمال شد:

برای عملیات حرارتی T_6 مطابق تجارت و آزمایش‌های گذشته شرایط ثابت ۵۰۵ درجه سانتی‌گراد و زمان ۱۲ ساعت (به عنوان زمان و دمای محلول‌سازی)، و آبدھی نیز در محیط آب ۶۰ درجه سانتی‌گراد انجام شد.^[۱۰] پیرسازی در دمای‌های ۱۵۰ و ۲۰۰ درجه سانتی‌گراد و به مدت زمان‌های ۲، ۵، ۳، ۵، ۷ و ۱۰ ساعت انجام شد. همچنین برای عملیات حرارتی T_5 در دمای‌های ۱۹۰، ۱۹۵ و ۲۰۵ درجه سانتی‌گراد و به مدت زمان‌های ۴، ۶ و ۸ ساعت تحت پیرسازی قرار گرفت. در هر یک از شرایط عملیات حرارتی، سه نمونه تست کشش استفاده شد.

ج) آزمایش‌های مکانیکی

پس از انجام عملیات حرارتی از دو سر نمونه‌ها برای سختی‌سنجی به روش برینل (با بار اعمالی ۶۲,۵ کیلوگرم و قطر ساقمه ۲/۵ میلی‌متر) استفاده شد. پس از آن نمونه‌ها تحت آزمایش کشش قرار گرفته واستحکام کششی و درصد ازدیاد طول نسبی هر نمونه تعیین شد.

فرایندهای عملیات حرارتی که برای آلیاژ ۳۱۹ مورد استفاده قرار گرفته

عبارتند از:^[۴]

T_4 : اتحال در ۵۱۰-۵۰۰ درجه‌ی سانتی‌گراد به مدت ۸-۱۲ ساعت، آبدھی در آب گرم و پیرسازی در دمای اتاق.

T_5 : پیرسازی قطعه‌ی ریختگی در دمای ۲۰۵ درجه سانتی‌گراد، به مدت ۷-۹ ساعت.

T_6 : اتحال در ۵۱۰-۵۰۰ درجه سانتی‌گراد به مدت ۸-۱۲ ساعت، آبدھی در آب گرم، پیرسازی در دمای ۱۵۰-۱۶۰ درجه سانتی‌گراد، به مدت ۲-۵ ساعت و سرد کردن در هوا.

در بین فرایندهای بالا عملیات حرارتی T_6 به دلیل ارائه‌ی خواص استحکامی بالاتر، از اهمیت ویژه‌ی برخوردار است. علت آن است که پس از اعمال عملیات محلولی و آبدھی بر آلیاژ، با اعمال پیرسازی بر ساخوار آبدیده، عناصر آلیاژی حل شده رسوب‌های محبوس در زمینه‌ی محلول جامد فوق اشباع شروع به خروج از آن کرده و طی مراحلی، به صورت رسوبات مناطق GP غیرتعادلی و هم‌سیما شروع شده تا نهایتاً به رسوب‌های تعادلی و غیر هم‌سیما با زمینه‌ی چون CuAl_2 ختم خواهد شد. در این بین بیشترین میزان کرنش کشسانی ایجاد شده در ساخوار (ناشی از ایجاد فازهای هم‌سیما و نیمه هم‌سیما در زمینه) متعلق به تشکیل فازهای θ' یعنی فاز CuAl_2 انتقالی و فاز

λ' : $\text{Al}_5\text{Cu}_2\text{Mg}_8\text{Si}_5$ است.^[۷]

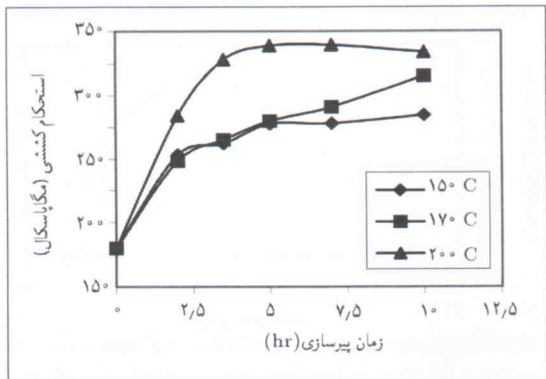
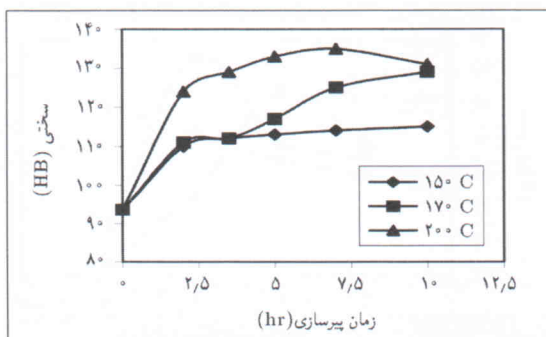
از سوی دیگر طبق تحقیقات به عمل آمده، اعمال عملیات حرارتی T_5 عموماً باعث افزایش استحکام کششی، استحکام تسلیم، سختی آلیاژ و کاهش درصد ازدیاد طول نسبی آن نسبت به حالت ریختگی خواهد شد.^[۷]

از دلایل ایجاد این تغییرات در رویگری‌های مکانیکی، به امکان تشکیل و توزیع نسبی رسوبات بین فلزی در زمینه‌ی آلیاژ، که خود به عنوان موانعی در سر راه حرکت نابهایی‌ها عمل می‌کنند، اشاره شده است. از طرفی چون طی این عملیات آلیاژ تحت محلول‌سازی قرار نمی‌گیرد، محلول جامد فوق اشباع در زمینه تشکیل نشده و رسوبات حاصله کمتر از دو عملیات T_4 و T_6 است.^[۸]

روش تحقیق

الف) آلیاژسازی و عملیات کیفی

مقدار ۹۰ کیلوگرم مذاب از شمش آلومینیم شرکت ایرالکو همراه با افزودن عناصر آلیاژی لازمه (خلال و آمیلان) در کوره شعله‌ی دارای بوته گرافیتی تهیه شد. آنالیز شیمیایی مذاب آلیاژ توسط کواتومتر کنترل شد. جوانه‌زایی با استفاده از آمیزان (آلیاژساز) $\text{Al}-5\text{Ti}-1\text{B}$ ، و بهسازی توسط آمیزان $\text{Al}-10\text{Sr}$ صورت گرفت. فرایند گاززدایی شامل دو

شکل ۱. تأثیر دما و زمان پیرسازی بر استحکام کششی در عملیات حرارتی T_e .شکل ۲. تأثیر دما و زمان پیرسازی بر سختی در عملیات حرارتی T_e .

استحکام مشاهده می‌شود. در این مورد نیز علت، پیشرفت واکنش و تشکیل رسبوپهای نیمه پایدار و هم‌سیما و نیمه هم‌سیما به میزان بیشتر، در اثر گذشت زمان است.^[۱۲]

در دمای‌های بالای پیرسازی (200°C) سرعت افزایش سختی و استحکام بیش از دمای‌های پایین پیرسازی (150 و 170 درجه سانتی‌گراد) است و در نهایت، در دمای 200°C و در مدت ۷ ساعت پیرسازی بیشترین مقادیر استحکام (340 MPa) و سختی (135 HB) حاصل می‌شود. علت این امر احتمالاً تشکیل فازهای θ' (نیمه هم‌سیما) و λ دراین شرایط است. چنان‌که مشاهده می‌شود، در این دما و در مدت زمان‌های بیشتر از ۷ ساعت سختی و استحکام کاهش می‌یابد. عامل اصلی آن در فرایپرسازی ایجاد شده در ساختار، ناشی از درشت شدن ذرات رسبو و تشکیل فازهای ناهم‌سیما است.^[۱۳]

در منحنی‌های مربوط به شکل‌های ۳ و ۴ نیز روند تغییرات استحکام کششی و سختی آلیاژ در اثر اعمال عملیات حرارتی T_e نشان داده شده است. در شکل ۳ روند تغییرات استحکام کششی در دمای ثابت 220 درجه سانتی‌گراد و مدت زمان‌های $2-8$ ساعت نشان داده شده است. در شکل ۴ نیز روند تغییرات سختی در مدت زمان‌های $2, 4, 6$ و 8 ساعت و دمای‌های $190, 205$ و 220 درجه سانتی‌گراد نشان داده شده است. حداقل میزان سختی در شرایط 220°C و مدت ۶ ساعت

د) محاسبه‌ی شاخص کیفیت

برخی محققین شاخص کیفیت را که نشانگر انرژی جذب شده توسط آلیاژ است، چنین تعریف کرده‌اند:^[۱۴]

$$Q = UTS(\text{MPa}) + K \log(El\%)$$

طبق تحقیقات به عمل آمده، میزان ثابت K برای آلیاژ آلمینیم ۳۱۹ برابر 116 است.^[۱۵]

$$Q = UTS(\text{MPa}) + 116 \log(El\%)$$

عموماً با متادف گرفتن این شاخص با میزان چقرمگی آلیاژ، می‌توان به بررسی آن در شرایط گوناگون عملیات حرارتی شده و ریختگی پرداخت و به این ترتیب پس از اندازه‌گیری مقادیر استحکام کششی، سختی و درصد ازدیاد طول نسبی، به محاسبه‌ی شاخص کیفیت آلیاژ پرداخت.

د) بررسی ریزساختار

از انتهای نمونه‌های آزمایش کشش برای انجام بررسی‌های ریزساختاری از طریق متالوگرافی نوری و میکروسکوپ الکترونی روبشی (SEM) نمونه‌هایی تهیه شد. همچنین از طریق SEM شکستنگاری روی سطوح شکست نیز بررسی شد.

نتایج و بحث

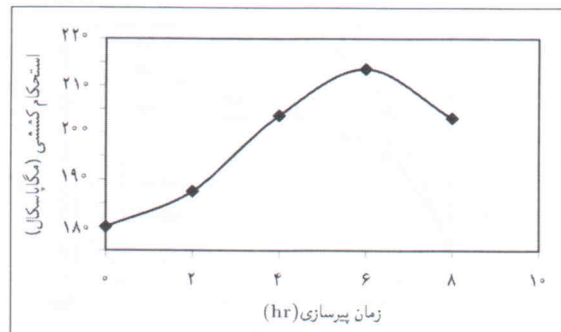
تأثیر دما و زمان پیرسازی بر خواص مکانیکی استحکام کششی و سختی

نتایج حاصل از اندازه‌گیری استحکام کششی و سختی آلیاژ در عملیات حرارتی T_e ضمن پیرسازی در سه دمای 150 ، 170 و 200 درجه سانتی‌گراد و مدت زمان‌های $2, 4, 6$ و 8 ساعت، در منحنی‌های شکل ۱ و شکل ۲ ارائه شده است. همان‌گونه که مشاهده می‌شود در سه دمای 150 ، 170 و 200 درجه سانتی‌گراد، بازتر افزایش زمان پیرسازی، استحکام و سختی آلیاژ افزایش می‌یابد. همچنین این روند افزایش در مدت زمان‌های ثابت $2, 4, 6$ و 8 ساعت در دمای 200°C در مدت زمان‌های $2, 4, 6$ و 8 ساعت نیز قابل مشاهده است. علت این امر در تشکیل فازهای GP، هم‌سیما و نیمه هم‌سیما اشاره شده در اثر گذشت زمان و در دمای‌های ثابت پیرسازی است. دما در تشکیل فازها و رسبوپات نقش نیروی محرکه را ایفا می‌کند. در نتیجه در اثر بالارفتن دما، نیروی محرکه برای انجام واکنش‌های رسبو دهی بالا می‌رود و سرعت و میزان تشکیل رسبوپات افزایش می‌یابد. این امر منجر به افزایش موانع ایجاد شده بر سر راه حرکت نابهجهایی‌ها می‌شود و در نهایت به افزایش سختی و استحکام آلیاژ خواهد انجامید. از سوی دیگر، می‌توان ملاحظه کرد که در اثر گذشت زمان نیز افزایش سختی و

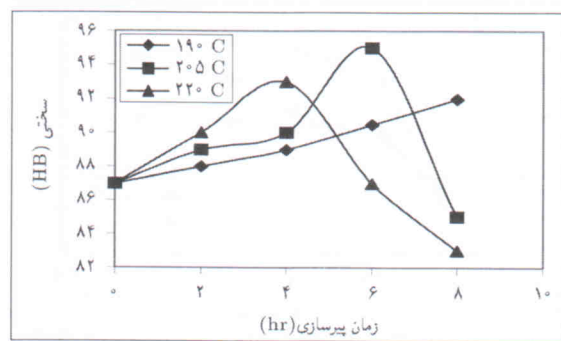
است. این تغییرات در دمای ۱۵۰، ۱۷۰ و ۲۰۰ درجه سانتیگراد و زمان‌های ۲، ۵، ۳، ۵ و ۱۰ برای عملیات T_e و ۲ ساعت برای عملیات حرارتی T_h و در دمای 220°C ارائه شده است. همانگونه که مشاهده می‌شود در تمامی دماهای پیرسازی، افزایش زمان به کاهش درصد ازدیاد طول نسبی در ساختار می‌انجامد (به جز دمای ۱۷۰ و ۲۰۰ درجه سانتیگراد و مدت زمان‌های دو ساعت). از سوی دیگر در عملیات T_h نیز با کاهش یکنواخت درصد ازدیاد طول نسبی در ساختار، براثر گذشت زمان پیرسازی موافق هستیم، به طوری که میزان درصد ازدیاد طول نسبی آلیاژ از میزان ۱/۵٪ تا مقادیر ۷/۰٪ به ازای ۸ ساعت پیرسازی کاهش می‌یابد.

این مستانه احتمالاً به خاطر پدیدآمدن فازهای نیمه همسیما و نیمه تعادلی در زمینه است که در اثر پدید آمدن چنین فازهایی، قابلیت سیلان زمینه کم شده و در نتیجه آلیاژ با کاهش درصد ازدیاد طول نسبی موافق خواهد شد.

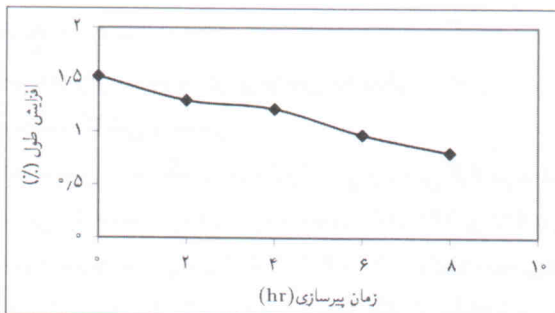
از سوی دیگر در دمای پیرسازی ۱۵۰ و ۱۷۰ درجه سانتیگراد ابتدا افزایش درصد ازدیاد طول نسبی آلیاژ در عملیات حرارتی T_h مشاهده شده که با گذشت زمان دچار کاهش می‌شود. علت این پدیده وجود عامل تأثیرگذار دیگری بر درصد ازدیاد طول نسبی است و آن وجود



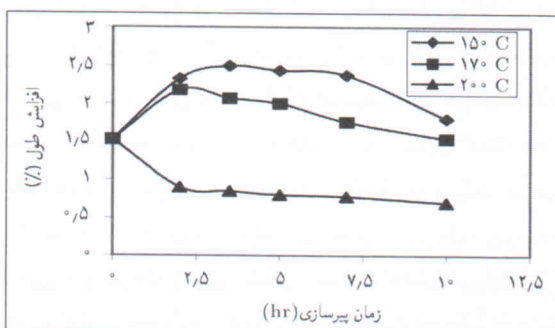
شکل ۳. تأثیر زمان پیرسازی در دمای 220°C بر استحکام کششی در عملیات حرارتی T_h .



شکل ۴. تأثیر دما و زمان پیرسازی بر سختی در عملیات حرارتی T_h .



شکل ۵. تأثیر زمان پیرسازی (در دمای 220°C) بر درصد افزایش طول نسبی در عملیات حرارتی T_h .



شکل ۶. تأثیر دما و زمان پیرسازی بر درصد ازدیاد طول نسبی در عملیات حرارتی T_e .

استحکام کششی در شرایط 205°C و مدت ۶ ساعت (210 MPa) به دست آمده است. همانگونه که در شکل‌ها مشخص است، روند تغییرات ارائه شده در عملیات حرارتی T_h ، مطابق عملیات حرارتی T_e است اما میزان استحکام و سختی حاصله در این عملیات کمتر از عملیات حرارتی T_h است. علت این امر آن است که در عملیات حرارتی T_h به دلیل وجود مرحله‌ی محلول‌سازی و آبدهی حجم بالایی از رسوبات به شکل محلول جامد فوق اشباع در زمینه باقی‌مانده اما در عملیات حرارتی T_e ، این مراحل موجود نیست و رسوبات پس از پیرسازی با حجم و میزان کمتری تشکیل می‌شوند. منشاء وجود این رسوبات احتمالاً ناشی از افزایش حضور عنصر آلیاژی در محلول جامد زمینه بوده که در حالت سرعت‌های سرد شدن ریخته‌گری در قالب ماسه‌بی که غیر تعادلی است و از سرد شدن در حالت تعادلی سریع تر است، پدید آمده‌اند. در این مورد نیز در اثر انجام عملیات حرارتی در دمای بالا و زمان طولانی در اثر پدیده‌ی فرایپرسازی سختی و استحکام کاهش می‌یابد.^[۱۲]

تأثیر دما و زمان پیرسازی بر درصد ازدیاد طول نسبی شکل‌های ۵ و ۶ تغییرات درصد ازدیاد طول نسبی را تحت تأثیر پیرسازی در عملیات حرارتی T_h و T_e در قالب منحنی‌هایی ارائه داده

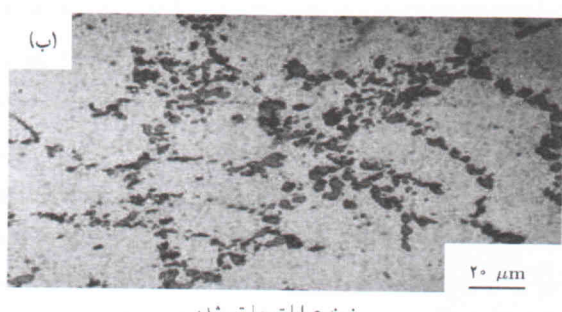
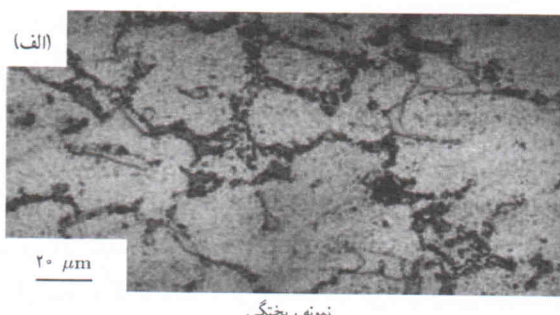
کیفیت افزایش خواهد یافت. میزان تغییرات از ۲۰۰ تا ۳۲۵ است اما در دماهای بالا و زمان‌های طولانی این شاخص کاهش می‌یابد. دلیل این مسئله نیز مطابق فرمول ذکر شده برای شاخص کیفیت از یک سو کاهش درصد از دیاد طول نسبی (به دلیل تشکیل رسوبات)، و از سوی دیگر کاهش استحکام کششی آلیاژ (به دلیل پدیده فراپرسازی) است.

در عملیات حرارتی T_e بیشترین میزان شاخص کیفیت آلیاژ در دمای 170°C و مدت زمان 1° ساعت قابل دستیابی است. در عملیات حرارتی T_5 نیز بیشترین میزان شاخص کیفیت آلیاژ در دمای 220°C و مدت زمان تقریبی 6° ساعت حاصل شده است. از سوی دیگر درصد از دیاد طول نسبی آلیاژ نیز بالاتر از میزان قابل قبول قطعات صنعتی (حدود یک درصد) است.^[1] (در این شرایط میزان درصد از دیاد طول نسبی آلیاژ از $1/5$ درصد بیشتر است).

با توجه به نتایج به دست آمده چنین برداشت می‌شود که در عملیات حرارتی T_e شرایط پرسازی بهینه عبارت است از دمای 170°C و زمان 1° ساعت که در این شرایط پرسازی، شاخص کیفیت حداقل است، و استحکام کششی و سختی آلیاژ نیز به طور تقریبی نزدیک به حداقل میزان خود هستند.

تأثیر عملیات حرارتی T_e و T_5 بر ریزساختار بررسی متالوگرافی

در اشکال ۹ و 10° ریزساختار آلیاژ در حالت ریختگی و پس از عملیات حرارتی T_e برای دو حالت بهسازی شده و نشده ذکر شده

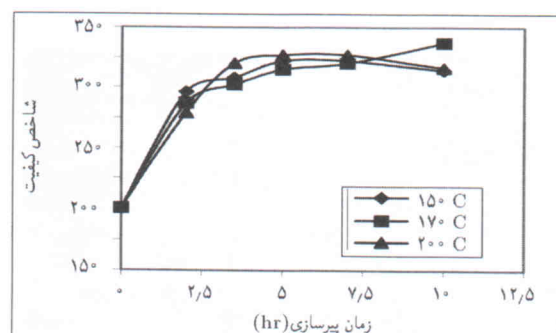


شکل ۹. تأثیر عملیات حرارتی T_e بر ریزساختار آلیاژ بهسازی شده.

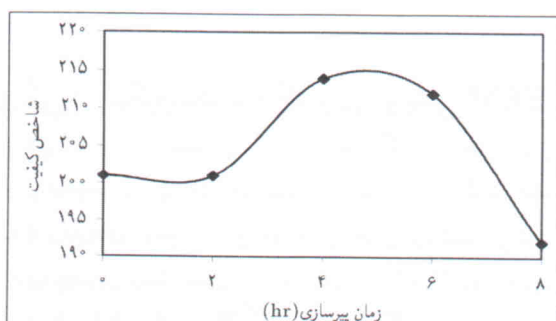
بهسازی ابتدایی در ساختار است که از مرحله محلول‌سازی ناشی می‌شود (این مسئله در مطالعات ریزساختاری نیز مشاهده می‌شود) که ابتدا بر درصد از دیاد طول نسبی تأثیر مثبت داشته، و در ادامه با اعمال پرسازی و تشکیل رسوبات مذکور (نیمه‌تعادلی) از دیاد طول نسبی آلیاژ کاهش می‌یابد. همان‌گونه که مشاهده می‌شود، بالاترین مقادیر درصد از دیاد طول نسبی برای دوگونه عملیات حرارتی T_5 و T_e در شرایط قبل از انجام عملیات پرسازی بر روی آلیاژ حاصل شده است.^[12]

تأثیر دما و زمان پرسازی بر شاخص کیفیت

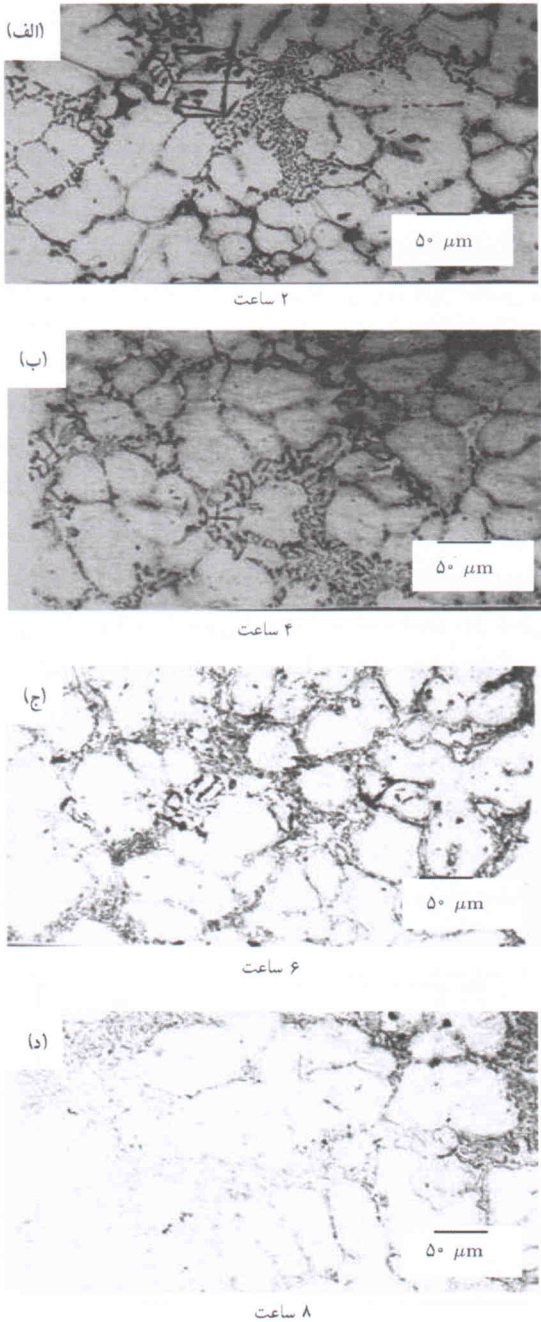
همان‌گونه که اشاره شد، شاخص کیفیت یک ویژگی است که به عنوان شاخصی برای چقمرگی آلیاژهای آلومینیم مورد ارزیابی قرار می‌گیرد. در شکل‌های ۷ و ۸ به ترتیب تأثیر شرایط پرسازی مختلف در عملیات حرارتی T_e و T_5 بر شاخص کیفیت ارائه شده است. در شکل ۷ تأثیر شرایط پرسازی مختلف در دماهای 15° ، 17° و 20° درجه سانتی‌گراد و مدت زمان‌های 2° ، 3° ، 5° و 10° ساعت بر شاخص کیفیت رسم شده است. از سوی دیگر در شکل ۸ نقش زمان پرسازی در دمای 220°C بر تغییرات شاخص کیفیت آلیاژ ترسیم شده است. روند تغییرات شاخص کیفیت در این سه دما مشابه تغییرات استحکام کششی و سختی است. یعنی با افزایش دما و زمان پرسازی، شاخص



شکل ۷. تأثیر دما و زمان پرسازی بر شاخص کیفیت در عملیات حرارتی T_e .

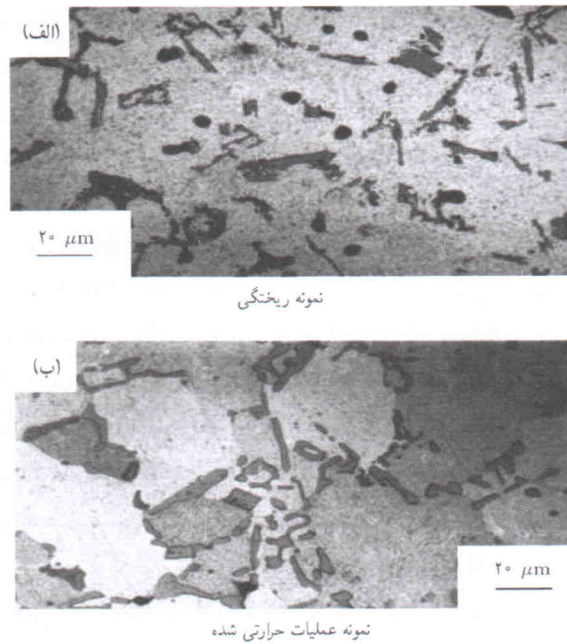


شکل ۸. تأثیر دما و زمان پرسازی بر شاخص کیفیت در عملیات حرارتی T_5 .

شکل ۱۱. ریزساختار پس از اعمال عملیات حرارتی T_5 در دمای $205^\circ C$.

بررسی با میکروسکوپ الکترونی روبشی SEM

در شکل ۱۲ و ۱۳، مقایسه‌ی بین ریزساختار آلیاز در حالت پیش و پس از عملیات حرارتی T_6 ارائه شده است. با استفاده از آنالیز نقطه‌ی EDS و فازهای موجود در این دو تصویر چنین برداشت می‌شود که فازهای روشن تر بیشتر حاوی ترکیبات مس ($CuAl_2$) بوده، همچنین مناطق با روشنایی کمتر حاوی مقادیر زیادی آلومینیم (زمینه α) و مناطق تیره‌تر حاوی فازهای سیلیسیم یوتکتیک است.^[۸] این مسئله

شکل ۱۰. تأثیر عملیات حرارتی T_6 بر ریزساختار آلیاز بهسازی نشده.

مورد مقایسه قرار گرفته است. همان‌طور که مشاهده می‌شود با اعمال عملیات حرارتی T_6 در ریزساختار، تغییر شکل فازهای سیلیسیم یوتکتیک (یعنی ریزشدن و کروی شدن این فازها) پدید خواهد آمد. ایجاد بهسازی ناشی از عملیات حرارتی در ساختاری که ابتدا تحت عملیات بهسازی شیمیایی قرار نگرفته بسیار مشهودتر از حالت دیگر است. بعبارت دیگر در شکل ۱۰، اختلاف بین فازهای یوتکتیک، پیش و پس از عملیات حرارتی، بسیار مشهودتر از شکل ۹ است. از سوی دیگر در شکل ۱۱ تأثیر عملیات حرارتی T_5 بر روی ریزساختار آلیاز 319 در دمای $205^\circ C$ نشان داده شده است. چنان که مشاهده می‌شود، برای اعمال عملیات حرارتی T_5 تغییرات چندانی در ساختار مشاهده نمی‌شود و در بزرگنمایی با میکروسکوپ نوری ساختار دست نخورده باقی مانده است.^[۱۲]

از سوی دیگر با توجه به این مشاهدات می‌توان چنین نتیجه‌گیری کرد که عملیات محلول‌سازی عامل تغییرات پدیدآمده در ریزساختار در این دما است که در عملیات حرارتی T_6 وجود داشته و در عملیات حرارتی T_5 این شرایط فراهم نبوده است. تغییرات ناشی از پیرسازی در دمایها و زمان‌های ارائه شده در ریزساختار با استفاده از میکروسکوپ الکترونی عبوری TEM قابل روایی است. وجود چنین تغییرات ساختاری، عامل اصلی افزایش ابتدایی درصد ازدیاد طول نسبی آلیاز در زمان‌های اولیه پیرسازی نسبت به آلیاز ریختگی است که می‌تواند با نتایج حاصل از اندازه‌گیری خواص مکانیکی مطابقت داشته باشد.

سانتیگراد و مدت زمان ۱۲ ساعت، آبدهی در آب 60°C و پیرسازی در دمای 200°C و مدت ۷ ساعت و به میزان 340 MPa در عملیات حرارتی T_6 به دست می‌آید. از سوی دیگر در عملیات حرارتی T_5 نیز بالاترین استحکام در 205°C و ۶ ساعت و به میزان 210 MPa حاصل شده است.

۲. با بررسی تأثیر زمان و دمای پیرسازی برسختی، چنین نتیجه می‌شود که بالاترین سختی آلیاژ، با محلول‌سازی در دمای 50°C درجه سانتیگراد و زمان ۱۲ ساعت، آبدهی در آب 60°C و پیرسازی در دمای 200°C و ۷ ساعت و به میزان 135 HB در عملیات حرارتی T_6 به دست می‌آید. از سوی دیگر در عملیات حرارتی T_5 نیز بالاترین سختی با پیرسازی در دمای 220°C و زمان ۶ ساعت و به میزان 95 HB قابل دست‌یابی است.

۳. افزایش سختی واستحکام در عملیات حرارتی T_6 بیش از عملیات حرارتی T_5 است که علت آن وجود مرحله‌ی محلول‌سازی و درنتیجه افزایش عنصر آلیاژی محلول در زمینه است که باعث افزایش میزان رسوبات پس از پیرسازی می‌شود.

۴. بررسی تأثیر زمان و دمای پیرسازی بر درصد ازدیاد طول نسبی، دلالت بر آن دارد که بالاترین درصد ازدیاد طول نسبی آلیاژ، در شرایط بدون پیرسازی حاصل می‌شود.

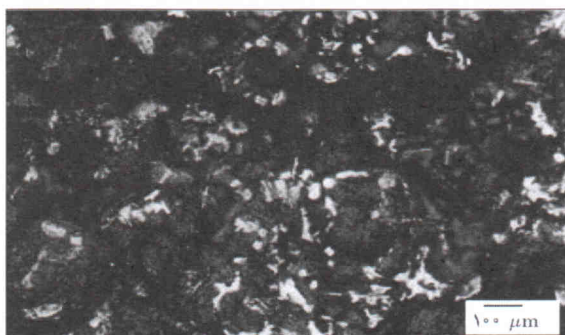
۵. بررسی تأثیر زمان و دمای پیرسازی نشانگر افزایش ابتدایی بر درصد ازدیاد طول نسبی آلیاژ عملیات حرارتی T_6 شده در دماهای پایین پیرسازی نسبت به آلیاژ عملیات حرارتی نشده است که علت آن بهسازی ناشی از عملیات محلول‌سازی ابتدایی در ساختار است.

۶. با مطالعه‌ی تأثیر زمان و دمای پیرسازی بر شاخص کیفیت، مشخص شد که بالاترین مقادیر شاخص کیفیت به میزان 34°C در شرایط 170°C و 10°C ساعت برای T_6 ، و همچنین بیشترین میزان شاخص کیفیت در عملیات T_5 به میزان 35°C در دمای 220°C و ۶ ساعت قابل دست‌یابی است.



روشن‌ترین مناطق حاوی ذرات میں، مناطق با روشنایی کم‌تر حاوی الومینیم و مناطق تیره حاوی فازهای سیلیسیم یوتکنیک است.

شکل ۱۲. تصویر BE حاصل از سطح مقطع شکست نمونه ریختگی.



روشن‌ترین مناطق حاوی ذرات میں، مناطق با روشنایی کم‌تر حاوی الومینیم و مناطق تیره حاوی فازهای سیلیسیم یوتکنیک است.

شکل ۱۳. تصویر BE حاصل از سطح مقطع شکست نمونه عملیات حرارتی شده T_6 .

نشانگر الگوی رفتاری یکسان شکست برای آلیاژ عملیات حرارتی شده و حرارتی نشده است. یعنی در ضمن آن شکست از درون فازهای سیلیسیم یوتکنیک، فازهای بین فلزی و مرزهای بین آنها آغاز می‌شود.

نتیجه‌گیری

۱. با بررسی تأثیر زمان و دمای پیرسازی بر استحکام کششی، بالاترین مقادیر استحکام کششی آلیاژ، با محلول‌سازی در دمای 50°C درجه

منابع

1. A.N. Lakshmanan, Ph.D. Thesis, University of McGill (1994).
2. Casting ASM Hand Book , 15 (1998).
3. R. Das Gupta, The Effect of Increased Magnesium Content on the Mechanical Properties of Sand-Cast 319 Aluminum Alloy, AFS Trans., 97, PP. 245-254 (1989).
4. J.Gauthier, P.R. Louchez and F.H. Samuel, Cast Metals, 8 (2), P.91 (1994).
5. J.D. Gruner, AFS Conf. , USA, P. 118 (1998).
6. Metals Handbook, 9 th Edition, 2, ASM.

۷. شبستری، سعید. و سعیدی‌نیا، سعید. «مجموعه مقاله‌های سیزدهمین سمینار سالانه جامعه ریختگران ایران»، دانشگاه علم و صنعت ایران، ص ۱۸۳ تا ۳۰ خرداد ۱۳۸۰.
۸. صنی، مهرشاد. «پایان نامه کارشناسی ارشد»، دانشکده‌ی مهندسی مواد و متالورژی، دانشگاه علم و صنعت ایران (۱۳۸۱).
9. ASTM Standard, 0202, (1998).
10. H. de la Sablonniere and F.H. Samuel, Cast Metals Res., 9, P. 195 (1996).
11. A. Pennors and A.M. Samuel, precipitation of Al₅FeSi Iron Intermetallic in Al-6%Si-3.5%Cu(319) Type Alloys: Role of Sr and P, AFS Trans., 105, pp. 251-264 (1998).
12. L.A. Narayanan & F.H. Samuel, Crystallization Behavior of Iron-Containing Intermetallic Compounds in 319 Aluminium Alloy, Metallurgical and Materials Transactions A ,25A, pp. 1761-1773 (1996).
13. G. Boudreault , A.M. Samuel and F.H. Samuel, Microstructural Observations of Porosity in A319.2 Alloy: Effect of Mold Type/Cooling Rate, AFS Transactions, 75, pp. 207-216 (1999).
14. Ouellet, F.H. Samuel, D. Gloriat and S. Valtierat , Effect of Mg Content on the Dimensional Stability and Tensile Properties of Heat Treated Al-Si-Cu (319) type Alloys, Cast Metals Res., 10, pp. 67-78 (1997).